

二重電圧蓄電器電動機の起動特性解析

島田 四郎*

Analysis of Starting Characteristics of Dual Voltage Capacitor Motor

By Shirō Shimada
Taga Works, Hitachi, Ltd.

Abstract

That the starting torque of the dual voltage capacitor motor varies little with the connection, i.e. to high or low tension, is known experimentally, so that the total starting characteristics of this type of motor have hitherto been left to the presumption of designers who would limit their calculation of the characteristics to the case of the low tension connection.

In this article, the writer dealing with this subject introduced his theoretical analysis as given in the heading, by which he wrought out a fundamental formula representing the starting characteristics acquired by high tension connection. A few examples of application of the formula to characteristic calculation are given also.

To mention the same briefly, the writer first induced out, by the aid of two-revolving field theory, a fundamental formula for current and torque of general two-phase electric motor whose starting coil takes a right electrical angle to the main winding which comprises phase M and phase N on the same axle. Then he transformed the formula making it applicable to the case where the two-phase motor is used on a single-phase source as a dual voltage motor (in which phase S is brought in parallel to phase M) phase M and phase N of which are switched over between series and parallel connection. Based on the same formula he induced the formula of starting current and torque developed in case the phase M and the phase N have an equal constant, and further induced the formula which represents the maximum value of starting torque and condenser terminal voltage obtainable when the condenser capacity is varied. Also, he used a circle diagram to be referred as a guide in his general observation of the subject. Synthesizing the results thus gained, the writer was able to clarify the analogy as well as the differentiation between the high tension- and the low tension-starting characteristics.

〔I〕 緒 言

現在我国に於て製作使用されている単相誘導電動機は主として出力 200 W 以下は分相起動方式、出力 200 W 以上は反撥起動方式である。分相起動方式は構造が簡単堅牢で保守も容易であるが、欠点として起動トルクが小

さく起動電流が大きい。これに反し、反撥起動方式は起動トルクが大きく起動電流が小さいが回転子巻線、整流子、刷子及び整流子短絡装置等複雑な構造を有しているため保守が面倒でまた高価である。

これに対し、米国等では構造が比較的簡単で起動特性も良好な蓄電器起動方式が既に広く実用化され、特に出力 200 W 以上の単相誘導電動機では殆どがこの方式に

* 日立製作所多賀工場

なっている。我国でも最近交流電解蓄電器の信頼度の高いものが得られるようになって、漸次蓄電器起動電動機が実用化されてきた。近い将来には必ずこの方式が汎用電動機として広く一般に普及されるものとする。

蓄電器電動機の起動特性の解析は、単電圧仕様のものに対しては数多く発表されているが、二重電圧（例えば 100V, 200V 共用）のものに対しては未だ発表されたものを見ない。

本稿はこの二重電圧蓄電器電動機の起動特性を解析する目的を以て、先ず二回転磁界説により二重電圧単相籠形誘導電動機の解析に資する二相電動機の基本式を誘導し、更に蓄電器起動の場合の特性基本式に変形し、これによりその起動特性に考察を加えたものである。

なお、この二重電圧蓄電器電動機の考え方は、高い電圧に耐える電解蓄電器の製作が困難なこと、起動電流に制限を受けること、或は輸出向とすること等のため 200V 級以上の電動機の必要な場合の設計にも役立つものである。

〔II〕 二相電動機の基本式

先ず第 1 図に示す如き一般の場合に就き基本式を求める。ただし計算に当つては次の仮定を設ける。

- (a) 各相の導体は位置的に完全な正弦分布をなす。
- (b) 回路常数は電圧、電流に関せず一定である。
- (c) 空隙の長さが一様で溝口の空隙に対する影響を無視できる。即ち空隙のパーミアンスが一様である。
- (d) 鉄心のパーミアンスは無量大で、鉄損が磁氣的影響を与えない。
- (e) *M* 相、*N* 相の巻線は位置的に同相に巻かれ、*S* 相巻線とは完全に $\pi/2$ の電気角度を有する。

計算方法は *N* 相巻線のない場合に就き文献 (1) により発表された方法に基いたもので、詳細は省略し要点のみ記す。

M, *N*, *S* 各相の電流 i_M, i_N, i_S を次式で表わす（以下サフィックス *M*, *N*, *S* はそれぞれ *M* 相、*N* 相、*S* 相の関係値を表わす）。

$$i_M = \sqrt{2} |I_M| \cos \omega t \dots\dots\dots (1)$$

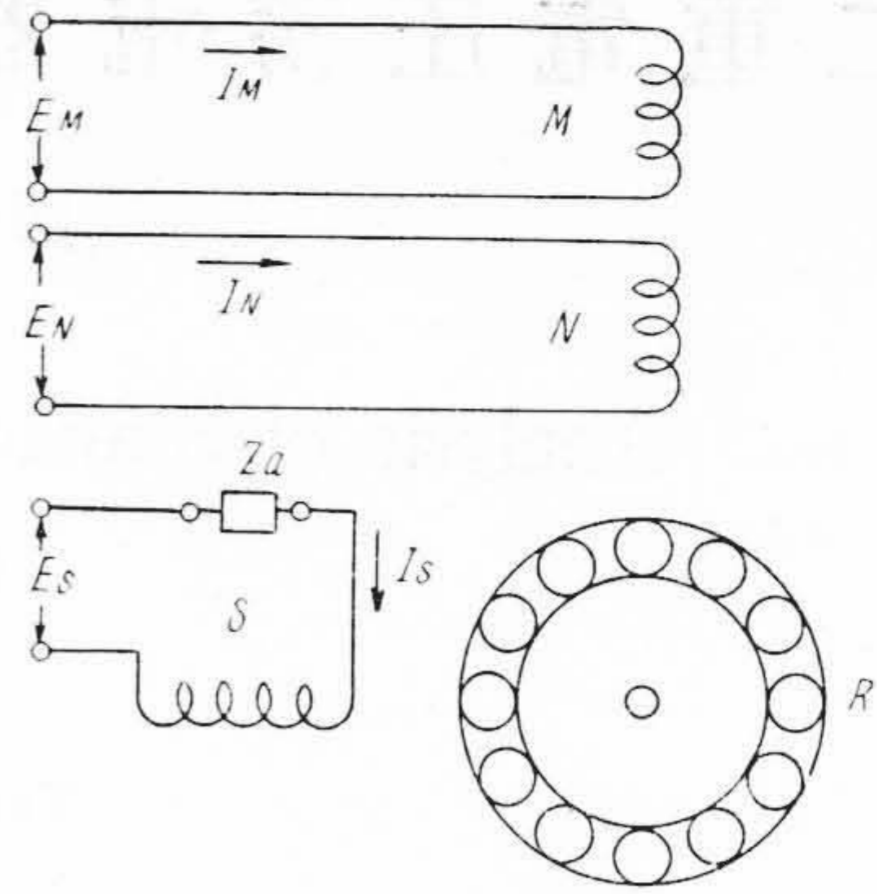
$$i_N = \sqrt{2} |I_N| \cos (\omega t + \phi) \dots\dots\dots (2)$$

$$i_S = \sqrt{2} |I_S| \cos (\omega t + \phi) \dots\dots\dots (3)$$

また仮定 (a) (e) により各相の導体分布 $\Delta C_M, \Delta C_N, \Delta C_S$ は次の如く表わされる。

$$\Delta C_M = -\frac{\pi}{2\lambda} C_M \sin \frac{\pi}{\lambda} x \dots\dots\dots (4)$$

$$\Delta C_N = -\frac{\pi}{2\lambda} b C_M \sin \frac{\pi}{\lambda} x \dots\dots\dots (5)$$



第 1 図 二相電動機の回路
Fig. 1. Two-Phase Motor Circuits

$$\Delta C_S = -\frac{\pi}{2\lambda} a C_M \sin \left(\frac{\pi}{\lambda} x + \frac{\pi}{2} \right) \dots\dots\dots (6)$$

こゝに $\lambda =$ 極間隔 (cm)

$C_M =$ *M* 相の毎極の全導体数

$b C_M =$ *N* 相の毎極の全導体数

$a C_M =$ *S* 相の毎極の全導体数

$x =$ 任意点の *M* 相巻線の極中心よりの距離 (cm)

式 (4) で表わされる分布の導体に式 (1) の電流が流れることにより誘起される磁束の分布 $\Delta \phi_{fM}, \Delta \phi_{bM}$ は籠形回転子の反作用も考えて次の如く表わされる（サフィックス *fM*, *bM* はそれぞれ *M* 相の前進及び後退磁束を表わす。*N*, *S* 相に関して同様とする）。

$$\left. \begin{aligned} \Delta \phi_{fM} &= k |I_M| \left[X_f \cos \left(\frac{\pi}{\lambda} x - \omega t \right) - R_f \sin \left(\frac{\pi}{\lambda} x - \omega t \right) \right] \\ \Delta \phi_{bM} &= k |I_M| \left[X_b \cos \left(\frac{\pi}{\lambda} x + \omega t \right) + R_b \sin \left(\frac{\pi}{\lambda} x + \omega t \right) \right] \end{aligned} \right\} \dots\dots\dots (7)$$

こゝに

$$k = \frac{4\sqrt{2} \times 10^8}{2\pi f \lambda C_M}$$

$$R_f = \frac{X_m^2 \frac{R_2}{s}}{\left(\frac{R_2}{s} \right)^2 + (X_2 + X_m)^2}$$

$=$ *M* 相巻線の前進磁束に対する見掛の抵抗 (Ω)

$$X_f = \frac{X_m \left[\left(\frac{R_2}{s} \right)^2 + X_2 (X_2 + X_m) \right]}{\left(\frac{R_2}{s} \right)^2 + (X_2 + X_m)^2}$$

$=$ *M* 相巻線の前進磁束に対する見掛のリアクタンス (Ω)

$$R_b = \frac{X_m^2 \frac{R_2}{2-s}}{\left(\frac{R_2}{2-s} \right)^2 + (X_2 + X_m)^2}$$

$=$ *M* 相巻線の後退磁束に対する見掛の抵抗 (Ω)

$$X_b = \frac{X_m \left[\left(\frac{R_2}{2-s} \right)^2 + X_2(X_2 + X_m) \right]}{\left(\frac{R_2}{2-s} \right)^2 + (X_2 + X_m)^2}$$

= M相巻線の後退磁束に対する見掛のリアクタンス (Ω)

X_m = M相巻線の励磁リアクタンスの半分 (Ω)

R_2 = M相に換算した回転子抵抗の半分 (Ω)

X_2 = M相に換算した回転子漏洩リアクタンスの半分 (Ω)

s = 回転子の前進磁束に対する滑り

N相に対しては

$$\left. \begin{aligned} \Delta\phi_{fN} &= kb |I_N| \left[X_f \cos\left(\frac{\pi}{\lambda}x - \omega t - \phi\right) - R_f \sin\left(\frac{\pi}{\lambda}x - \omega t - \phi\right) \right] \\ \Delta\phi_{bN} &= kb |I_N| \left[X_b \cos\left(\frac{\pi}{\lambda}x + \omega t + \phi\right) + R_b \sin\left(\frac{\pi}{\lambda}x + \omega t + \phi\right) \right] \end{aligned} \right\} \dots(8)$$

S相に対しては

$$\left. \begin{aligned} \Delta\phi_{fS} &= ka |I_S| \left[X_f \cos\left(\frac{\pi}{\lambda}x + \frac{\pi}{2} - \omega t - \phi\right) - R_f \sin\left(\frac{\pi}{\lambda}x + \frac{\pi}{2} - \omega t - \phi\right) \right] \\ \Delta\phi_{bS} &= ka |I_S| \left[X_b \cos\left(\frac{\pi}{\lambda}x + \frac{\pi}{2} + \omega t + \phi\right) + R_b \sin\left(\frac{\pi}{\lambda}x + \frac{\pi}{2} + \omega t + \phi\right) \right] \end{aligned} \right\} \dots(9)$$

式(7)~(9)の分布を有する各磁束により M, N, S各相に誘起する電圧を打消すに要する電圧をそれぞれ

M相に対し: $E_{fM}, E_{bM}, E_{M, Nf}, E_{M, Nb}, E_{M, Sf}, E_{M, Sb}$
 (E_{fM}, E_{bM} は $\Delta\phi_{fM}, \Delta\phi_{bM}$ によるもの, $E_{M, Nf}, E_{M, Nb}$ は $\Delta\phi_{fN}, \Delta\phi_{bN}$ によるもの, $E_{M, Sf}, E_{M, Sb}$ は $\Delta\phi_{fS}, \Delta\phi_{bS}$ によるもの, N, S相に対しても同様とする)

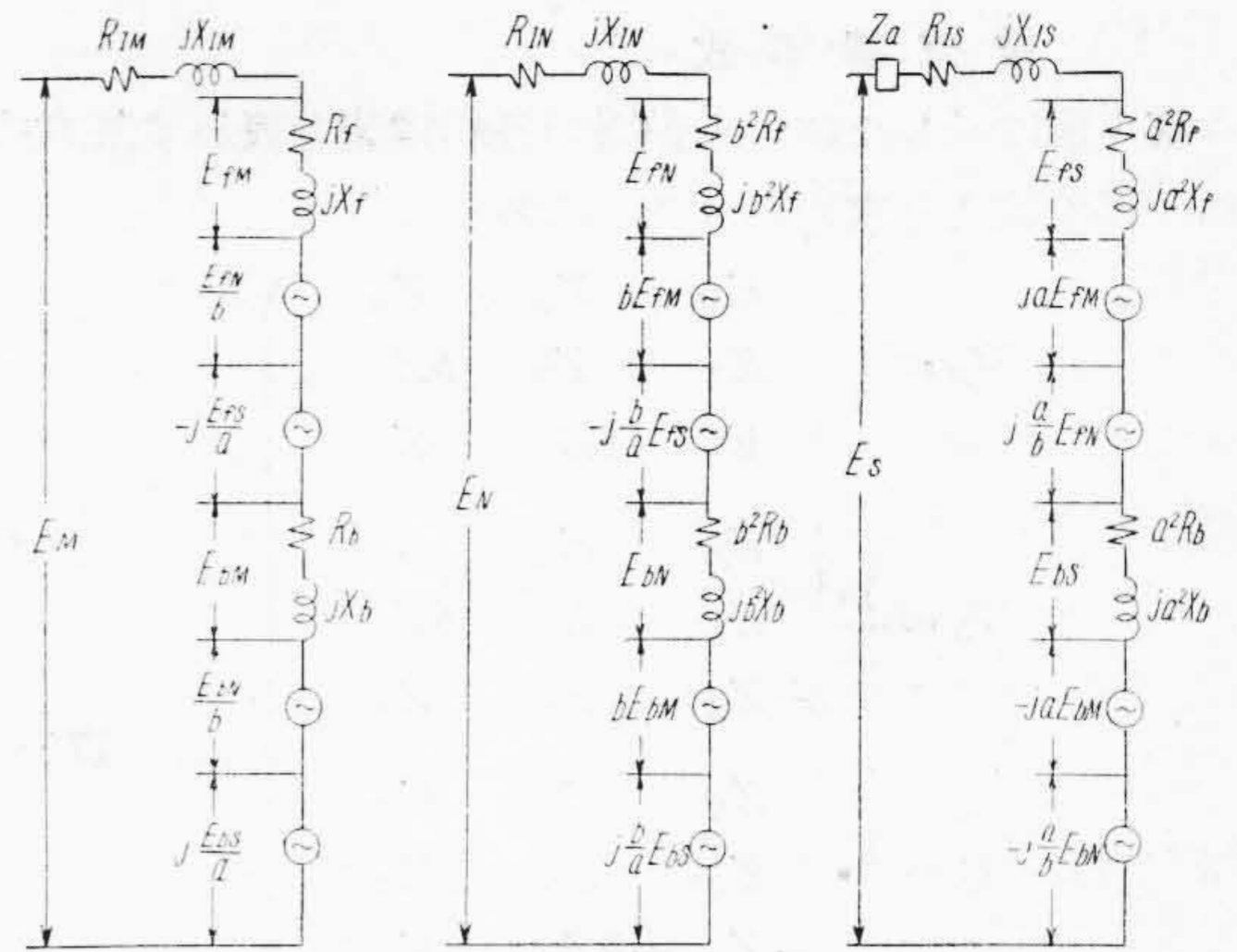
N相に対し: $E_{N, Mf}, E_{N, Mb}, E_{N, Sf}, E_{N, Sb}$

S相に対し: $E_{S, Mf}, E_{S, Mb}, E_{S, Nf}, E_{S, Nb}$

とすると

$$\left. \begin{aligned} E_{fM} &= I_M(R_f + jX_f), & E_{bM} &= I_M(R_b + jX_b) \\ E_{M, Nf} &= bI_N(R_f + jX_f), & E_{M, Nb} &= bI_N(R_b + jX_b) \\ E_{M, Sf} &= aI_S(X_f - jR_f), & E_{M, Sb} &= aI_S(-X_b + jR_b) \end{aligned} \right\} \dots(10)$$

$$\left. \begin{aligned} E_{N, Mf} &= bI_M(R_f + jX_f), & E_{N, Mb} &= bI_M(R_b + jX_b) \\ E_{fN} &= b^2I_N(R_f + jX_f), & E_{bN} &= b^2I_N(R_b + jX_b) \\ E_{N, Sf} &= abI_S(X_f - jR_f), & E_{N, Sb} &= abI_S(-X_b + jR_b) \end{aligned} \right\} \dots(11)$$



第2図 各相電圧の関係図
 Fig.2. Voltage Diagram of Each Phase

$$\left. \begin{aligned} E_{S, Mf} &= aI_M(-X_f + jR_f), & E_{S, Mb} &= aI_M(X_b - jR_b) \\ E_{S, Nf} &= abI_N(-X_f + jR_f), & E_{S, Nb} &= abI_N(X_b - jR_b) \\ E_{fS} &= a^2I_S(R_f + jX_f), & E_{bS} &= a^2I_S(R_b + jX_b) \end{aligned} \right\} \dots(12)$$

また M, N, S各相の一次インピーダンスをそれぞれ $R_{1M} + jX_{1M}, R_{1N} + jX_{1N}, R_{1S} + jX_{1S}$ とし, S相への附加インピーダンスを $R_a + jX_a$ とすると, これ等による電圧降下 $E_{1M}, E_{1N}, E_{1S}, E_a$ はそれぞれ次式の如くなる。

$$\left. \begin{aligned} E_{1M} &= I_M(R_{1M} + jX_{1M}), & E_{1N} &= I_N(R_{1N} + jX_{1N}) \\ E_{1S} &= I_S(R_{1S} + jX_{1S}), & E_a &= I_S(R_a + jX_a) \end{aligned} \right\} \dots(13)$$

式(10)~(13)で表わされる電圧のそれぞれの和が各相の印加電圧 E_M, E_N, E_S に等しいから次式が成立する。

$$\left. \begin{aligned} E_M &= E_{1M} + E_{fM} + E_{bM} + E_{M, Nf} + E_{M, Nb} + E_{M, Sf} + E_{M, Sb} \\ E_N &= E_{1N} + E_{fN} + E_{bN} + E_{N, Mf} + E_{N, Mb} + E_{N, Sf} + E_{N, Sb} \\ E_S &= E_a + E_{1S} + E_{fS} + E_{bS} + E_{S, Mf} + E_{S, Mb} + E_{S, Nf} + E_{S, Nb} \end{aligned} \right\} \dots(14)$$

又式(14)の関係は第2図に示す如くなる。

各相電圧と電流の関係は次の如く式(10)~(14)より得られる。即ち

$$\left. \begin{aligned} E_M &= I_M Z_M + I_N Z_B + I_S Z_A \\ E_N &= I_M Z_B + I_N Z_N + I_S b Z_A \\ E_S &= -I_M Z_A - I_N b Z_A + I_S Z_S \end{aligned} \right\} \dots(15)$$

但し

$$\left. \begin{aligned} Z_M &= (R_{1M} + R_f + R_b) + j(X_{1M} + X_f + X_b) \\ Z_N &= (R_{1N} + b^2R_f + b^2R_b) + j(X_{1N} + b^2X_f + b^2X_b) \\ Z_S &= (R_a + R_{1S} + a^2R_f + a^2R_b) \\ &\quad + j(X_a + X_{1S} + a^2X_f + a^2X_b) \\ Z_A &= a(X_f - X_b) - j_a(R_f - R_b) \\ Z_B &= b(R_f + R_b) + j_b(X_f + X_b) \end{aligned} \right\} \dots(16)$$

(1) 電流基本式

第1図に示した如き電動機の各相電流を表わす基本式は(15)式より求められる。即ち

$$\begin{aligned}
 I_M &= \frac{1}{\Delta} \begin{vmatrix} E_M & Z_B & Z_A \\ E_N & Z_N & bZ_A \\ E_S & -bZ_A & Z_S \end{vmatrix}, \\
 I_N &= \frac{1}{\Delta} \begin{vmatrix} Z_M & E_M & Z_A \\ Z_B & E_N & bZ_A \\ -Z_A & E_S & Z_S \end{vmatrix}, \\
 I_S &= \frac{1}{\Delta} \begin{vmatrix} Z_M & Z_B & E_M \\ Z_B & Z_N & E_N \\ -Z_A & -bZ_A & E_S \end{vmatrix}, \\
 \Delta &= \begin{vmatrix} Z_M & Z_B & Z_A \\ Z_B & Z_N & bZ_A \\ -Z_A & -bZ_A & Z_S \end{vmatrix}
 \end{aligned} \dots(17)$$

但し

(2) トルク基本式

トルク T_t は次式より求められる。(単位 同期ワット)

$$T_t = \int_0^{2\pi} [\Delta\phi_{fM} + \Delta\phi_{bM} + \Delta\phi_{fN} + \Delta\phi_{bN} + \Delta\phi_{fS} + \Delta\phi_{bS}] \times [i_M \cdot \Delta C_M + i_N \cdot \Delta C_N + i_S \cdot \Delta C_S] \cdot 2\lambda f \cdot 10^{-8} dx \dots(18)$$

この式(18)に式(1)~(9)を代入して計算すると次式が得られる。

$$\begin{aligned}
 T_t &= |I_M|^2 [(R_f - R_b) + (R_f - R_b) \cos 2\omega t - (X_f - X_b) \sin 2\omega t] + |I_N|^2 b^2 [(R_f - R_b) + (R_f - R_b) \cos 2(\omega t + \phi) - (X_f - X_b) \sin 2(\omega t + \phi)] \\
 &+ |I_S|^2 a^2 [(R_f - R_b) + (R_f - R_b) \cos 2(\omega t + \phi) - (X_f - X_b) \sin 2(\omega t + \phi)] + 2|I_M| \cdot |I_N| b [(R_f - R_b) \times \cos \phi + (R_f - R_b) \cos (2\omega t + \phi) - (X_f - X_b) \times \sin (2\omega t + \phi)] \\
 &+ 2|I_M| \cdot |I_S| a (R_f + R_b) \sin \phi + 2|I_N| \cdot |I_S| ab (R_f + R_b) \sin (\phi - \psi) \dots(19)
 \end{aligned}$$

式(19)よりトルク T_t は電源周波数の2倍の周波数の脈動を含むことが解る。

次に T_t の平均値を T とすると式(19)より T は

$$\begin{aligned}
 T &= [|I_M|^2 + b^2 |I_N|^2 + 2b |I_M| \cdot |I_N| \cos \phi + a^2 |I_S|^2] (R_f - R_b) + 2a |I_S| [|I_M| \sin \phi + b |I_N| \sin (\phi - \psi)] (R_f + R_b) \dots(20)
 \end{aligned}$$

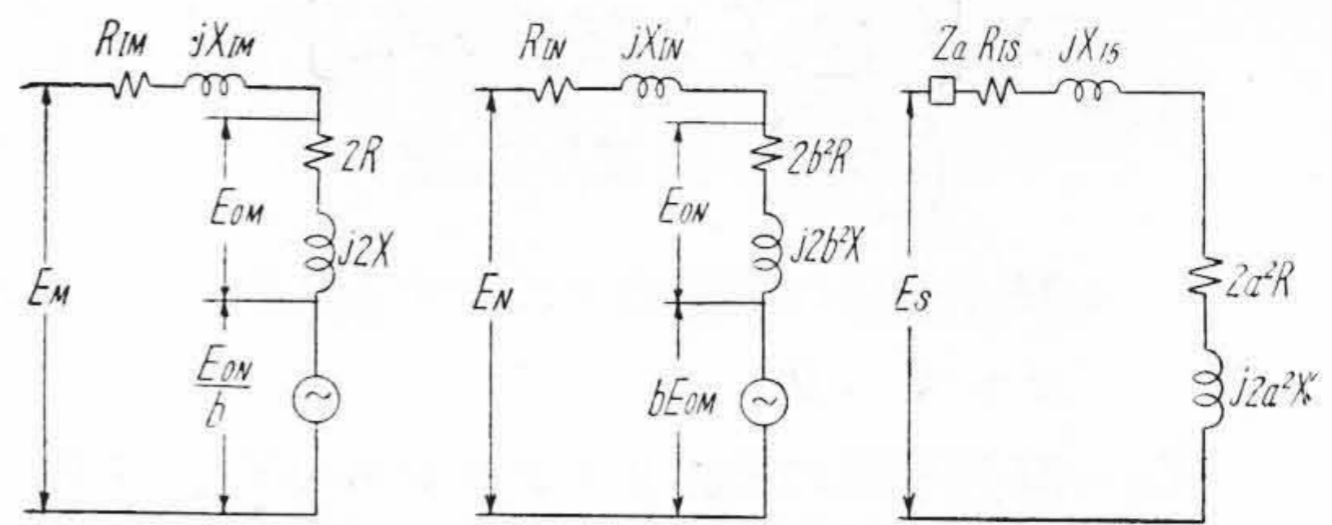
電動機のトルクを論じるときは通常この平均トルクをいう。本稿でも以下この平均値のみを考える。

$$\text{今 } I_M + bI_N = I_T, \angle(I_T, I_S) = \xi \dots(21)$$

とおくと, I_T の効果は M 及び N 相電流の効果の和を表わすことになる。即ち式(20)は

$$\begin{aligned}
 T &= [|I_T|^2 + a^2 |I_S|^2] (R_f - R_b) + 2a |I_T| \cdot |I_S| (R_f + R_b) \sin \xi \dots(22)
 \end{aligned}$$

となり, これは N 相巻線がない場合に M 相に I_T が流れた場合のトルクの式に等しい。式(20)又は(22)がトルクの基本式である。



第3図 起動時に於ける各相電圧の関係図 Fig.3. Voltage Diagram of Each Phase at Starting

(3) 起動時基本式

起動時には $s=1$ である故

$$\begin{aligned}
 R_f = R_b &= \frac{X_m^2 R_2}{R_2^2 + (X_2 + X_m)^2} \equiv R \\
 X_f = X_b &= \frac{X_m [R_2^2 + X_2 (X_2 + X_m)]}{R_2^2 + (X_2 + X_m)^2} \equiv X
 \end{aligned} \dots(23)$$

とおける。このときの電流, インピーダンス, トルク等をサフィックス "0" を附して表わすと式(17), (16)より次式が得られる。

$$\begin{aligned}
 I_{M0} &= \frac{E_M Z_{N0} - E_N Z_{B0}}{Z_{M0} Z_{N0} - Z_{B0}^2} \\
 I_{N0} &= \frac{-E_M Z_{B0} + E_N Z_{M0}}{Z_{M0} Z_{N0} - Z_{B0}^2}, \quad I_{S0} = \frac{E_S}{Z_{S0}}
 \end{aligned} \dots(24)$$

但し

$$\begin{aligned}
 Z_{M0} &= (R_{IM} + 2R) + j(X_{IM} + 2X), \\
 Z_{N0} &= (R_{IN} + 2b^2R) + j(X_{IN} + 2b^2X), \\
 Z_{S0} &= (R_a + R_{IS} + 2a^2R) + j(X_a + X_{IS} + 2a^2X), \\
 Z_{B0} &= 2b(R + jX)
 \end{aligned}$$

また式(22), (21)より次式が得られる。

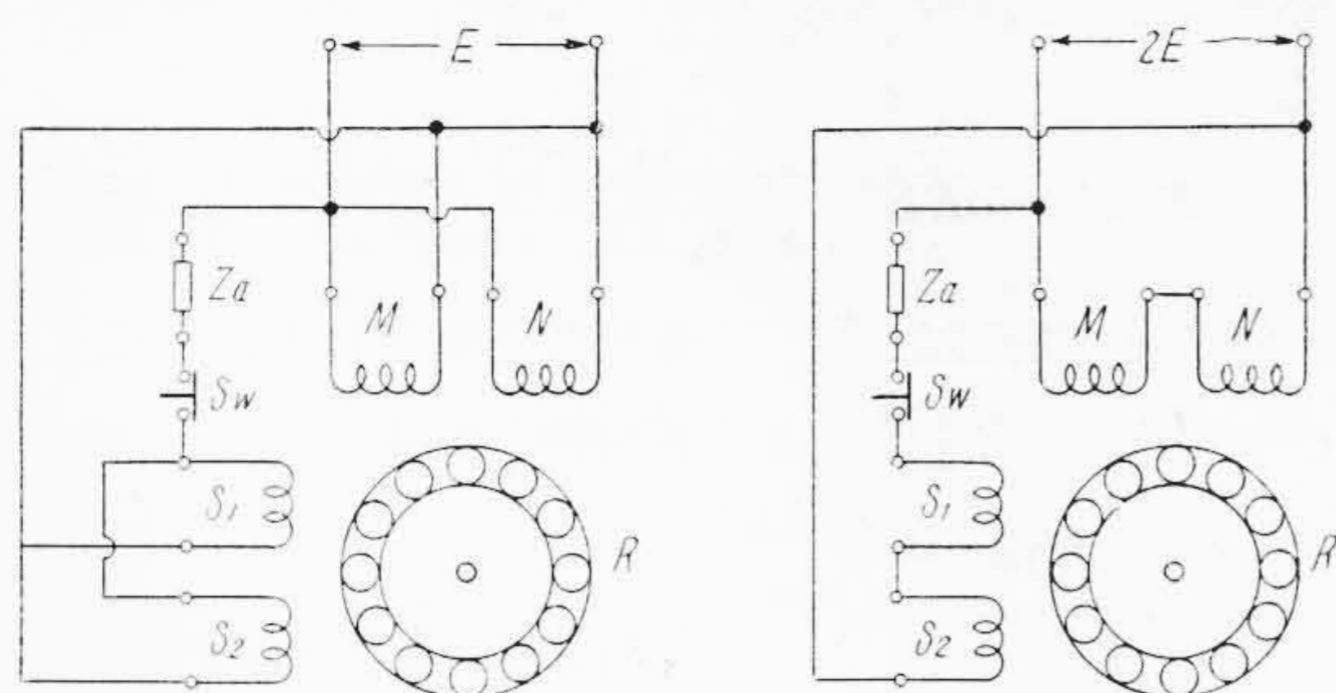
$$T_0 = 4a |I_{T0}| \cdot |I_{S0}| R \sin \xi_0 \dots(25)$$

但し $I_{T0} = I_{M0} + bI_{N0}$, $\xi_0 = \angle(I_{T0}, I_{S0})$

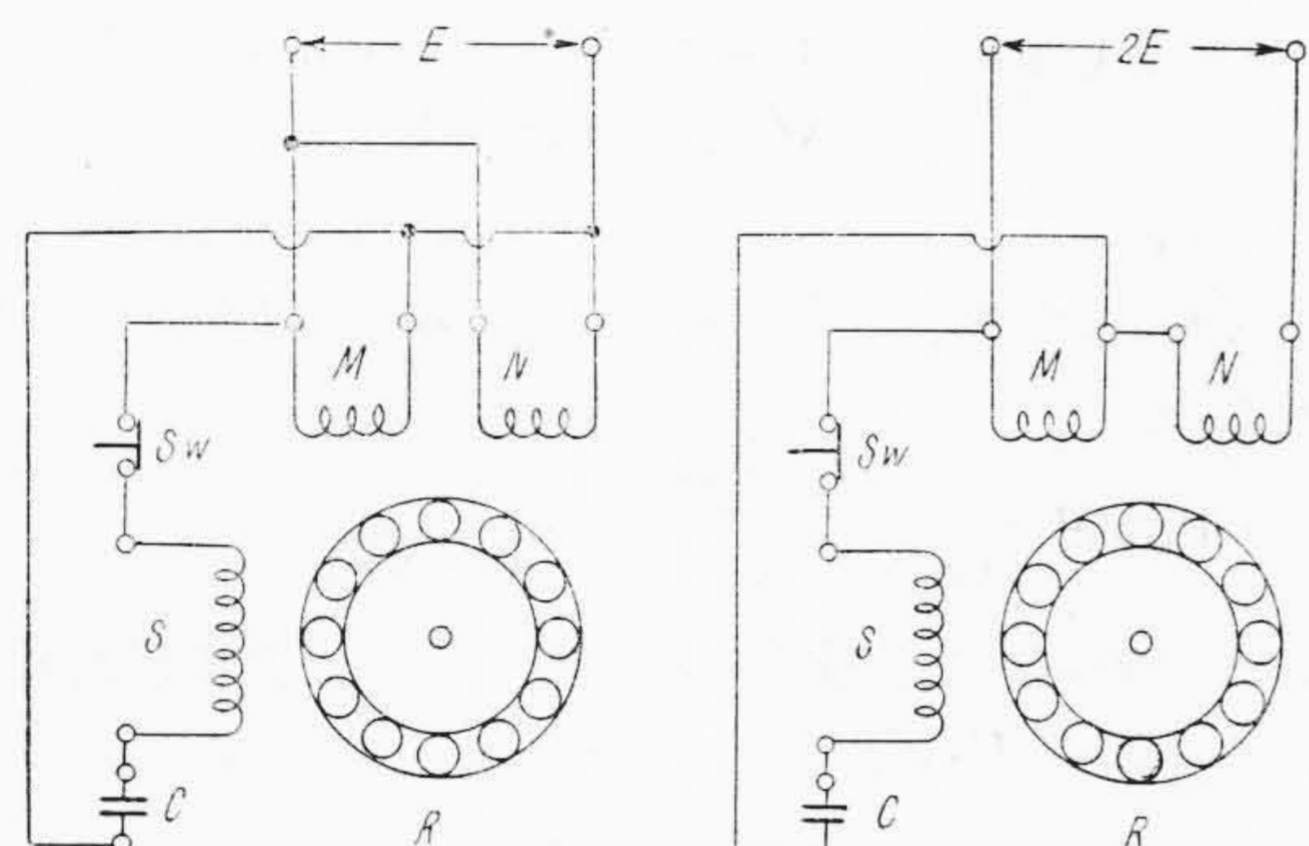
式(24)及び(25)が起動時の電流及びトルクの基本式である。なおこれらの式で N 相の関係値を0とおけば通常の二相電動機の基本式と一致する。第2図に示した電圧の関係図は起動時には第3図の如くなる。

[III] 二重電圧蓄電器電動機の基本式

抵抗分相型の二重電圧単相誘導電動機は通常, 第4図に示す結線で M と N , S_1 と S_2 の巻線仕様を同一にしておき, 高圧低圧の切換には主巻線起動巻線共に直並列切換を行う。従つて高圧と低圧で同様な特性を得られることが明かで特に区別して解析する必要がない。然るに電解蓄電器を使用する蓄電器電動機では, 高い電圧に耐える蓄電器の製作が困難なため通常第5図の如き結線となし, 蓄電器端子電圧が常に低圧になるように設計されている。この場合には明かに高低圧を同一に取扱うことはできない。こゝに前項で得られた結果を活用すれば二重電圧蓄電器電動機の特性的基本式を誘導することが



第4図 二重電圧単相電動機結線図
Fig.4. Connection Diagram of Dual-Voltage Single-Phase Motor



第5図 二重電圧蓄電器電動機結線図
Fig.5. Connection Diagram of Dual-Voltage Capacitor Motor

できる。以下これを示す。なおこの場合S相附加インピーダンスは蓄電器であるから次の如く書換える。

$$Z_a \rightarrow Z_c, R_a \rightarrow R_c, X_a \rightarrow -X_c, E_a \rightarrow V_c$$

(1) L-結線 (低圧結線) の場合

この場合は $E_M = E_N = E_S = E$ となる。このときの各記号をサフィックス“L”を附して表わすと運転特性基本式は式(17), (21), (22)より次の如くなる。

$$\left. \begin{aligned} I_{ML} &= \frac{E}{A} \begin{vmatrix} 1 & Z_B & Z_A \\ 1 & Z_N & bZ_A \\ 1 & -bZ_A & Z_S \end{vmatrix} \\ I_{NL} &= \frac{E}{A} \begin{vmatrix} Z_M & 1 & Z_A \\ Z_B & 1 & bZ_A \\ -Z_A & 1 & Z_S \end{vmatrix} \\ I_{SL} &= \frac{E}{A} \begin{vmatrix} Z_M & Z_B & 1 \\ Z_B & Z_N & 1 \\ -Z_A & -bZ_A & 1 \end{vmatrix} \end{aligned} \right\} \dots\dots(26)$$

$$T_L = [|I_{TL}|^2 + a^2 |I_{SL}|^2] (R_f - R_b) + 2a |I_{TL}| \cdot |I_{SL}| (R_f + R_b) \sin \xi_L \dots(27)$$

但し $I_{TL} = I_{ML} + bI_{NL}, \xi_L = \angle(I_{TL}, I_{SL})$

起動時には式(24), (25)より次式が得られる。

$$\left. \begin{aligned} I_{MOL} &= E \frac{Z_{MO} - Z_{BO}}{Z_{MO}Z_{NO} - Z_{BO}^2} \\ I_{NOL} &= E \frac{Z_{MO} - Z_{BO}}{Z_{MO}Z_{NO} - Z_{BO}^2}, \quad I_{SOL} = \frac{E}{Z_{SO}} \end{aligned} \right\} \dots(28)$$

$$\left. \begin{aligned} T_{OL} &= 4aR |I_{TOL}| \cdot |I_{SOL}| \sin \xi_{OL} \\ I_{TOL} &= I_{MOL} + bI_{NOL} \\ \xi_{OL} &= \angle(I_{TOL}, I_{SOL}) \end{aligned} \right\} \dots\dots(29)$$

(2) H-結線 (高圧結線) の場合

この場合は式(30)の条件が成立する。

$$E_M = E_S, E_M + E_N = 2E, I_M + I_S = I_N \dots(30)$$

式(17)にこれ等の関係を入れて整理すると次の如くなる。

$$E_M = 2E \cdot F(s) \dots\dots\dots(31)$$

但し

$$F(s) = \frac{Z_M Z_S + Z_S Z_B + Z_A^2 - Z_A Z_B - b Z_M Z_A + b Z_A^2}{Z_M Z_N + Z_M Z_S + Z_N Z_S + Z_A^2 - Z_B^2 + 2 Z_S Z_B + 2 b Z_A^2 + b^2 Z_A^2} \dots(32)$$

このときの各記号にサフィックス“H”を附して表わすと、式(17), (21), (22)より運転特性基本式として次式が得られる。

$$\left. \begin{aligned} I_{MH} &= \frac{2E}{A} \begin{vmatrix} F(s) & Z_B & Z_A \\ 1 - F(s) & Z_N & bZ_A \\ F(s) & -bZ_A & Z_S \end{vmatrix} \\ I_{NH} &= \frac{2E}{A} \begin{vmatrix} Z_M & F(s) & Z_A \\ Z_B & 1 - F(s) & bZ_A \\ -Z_A & F(s) & Z_S \end{vmatrix} \\ I_{SH} &= \frac{2E}{A} \begin{vmatrix} Z_M & Z_B & F(s) \\ Z_B & Z_N & 1 - F(s) \\ -Z_A & -bZ_A & F(s) \end{vmatrix} \end{aligned} \right\} \dots\dots(33)$$

$$T_H = [|I_{TH}|^2 + a^2 |I_{SH}|^2] (R_f - R_b) + 2a |I_{TH}| \cdot |I_{SH}| (R_f + R_b) \sin \xi_H \dots(34)$$

但し $I_{TH} = I_{MH} + bI_{NH}, \xi_H = \angle(I_{TH}, I_{NH})$

起動特性は式(24), (25)より次の如くなる。

$$\left. \begin{aligned} I_{MOH} &= 2E \frac{F(O) \cdot Z_{NO} - [1 - F(O)] Z_{BO}}{Z_{MO}Z_{NO} - Z_{BO}^2} \\ I_{NOH} &= 2E \frac{[1 - F(O)] Z_{MO} - F(O) \cdot Z_{BO}}{Z_{MO}Z_{NO} - Z_{BO}^2} \\ I_{SOH} &= 2E \frac{F(O)}{Z_{SO}} \end{aligned} \right\} \dots(35)$$

$$\text{但し } F(O) = \frac{Z_{MO}Z_{SO} + Z_{SO}Z_{BO}}{Z_{MO}Z_{NO} + Z_{MO}Z_{SO} + Z_{NO}Z_{SO} - Z_{BO}^2 + 2Z_{SO}Z_{BO}}$$

$$\left. \begin{aligned} T_{OH} &= 4aR |I_{TOH}| \cdot |I_{SOH}| \sin \xi_{OH} \\ I_{TOH} &= I_{MOH} + bI_{NOH} \\ \xi_{OH} &= \angle(I_{TOH}, I_{SOH}) \end{aligned} \right\} \dots\dots(36)$$

[IV] 二重電圧蓄電器電動機の起動特性

二重電圧单相電動機は通常、定常運転に入つた後の特性を高圧結線と低圧結線で略々同一にするためには M 相、N 相の巻線を略々同一に設計する。こゝでは

b=1, Z_{IM}=Z_{IN}.....(37)

として起動特性を考察する。この仮定が成立するときは

Z_N=Z_M, Z_{NO}=Z_{MO}.....(38)

が成立する。このときの各記号を“'”を附して表わす。なおこの仮定の成立するときは高圧結線と低圧結線とで定常運転特性が同一になることは明かである。

(1) 電流及びトルクを表わす式

(A) L-結線の場合

式(28),(29)に式(37),(38)の仮定を入れると次式が得られる。

I_{MOL}' = \frac{E}{Z_{MO}+Z_{BO}} = \frac{E}{(R_{IM}+4R)+j(X_{IM}+4X)}.....(39)

I_{NOL}' = I_{MOL}' = \frac{E}{(R_{IM}+4R)+j(X_{IM}+4X)}.....(40)

I_{SOL}' = \frac{E}{Z_{SO}} = \frac{E}{(R_C+R_{IS}+2a^2R)+j(-X_C+X_{IS}+2a^2X)}.....(41)

T_{OL}' = 4aR|I_{MOL}'| \cdot |I_{SOL}'| \sin \xi_{OL}' = \frac{8aRE^2}{[(R_{IM}+4R)^2+(X_{IM}+4X)^2][(R_C+R_{IS}+2a^2R)^2+(-X_C+X_{IS}+2a^2X)^2]}.....(42)

式(39)~(42)で L-結線の起動特性が表わされる。

起動用蓄電器の両端の電圧は次の如くなる。

V_{COL}' = Z_C \cdot I_{SOL}' = \frac{E(R_C-jX_C)}{(R_C+R_{IS}+2a^2R)+j(-X_C+X_{IS}+2a^2X)}.....(43)

又起動能率を \eta_{st} とすると次の如くなる。

\eta_{st \cdot L}' = \frac{T_{OL}'}{E \cdot |I_{LOL}'|}.....(44)

但し I_{LOL}' \equiv I_{MOL}' + I_{NOL}' + I_{SOL}' = 線電流

次に起動用蓄電器の力率を \mu とし、\mu が容量の如何に拘らず一定の場合に、蓄電器容量 C を変化させたとき即ち X_C を変化させたときの起動トルク及び蓄電器電圧の最大値を求めると仮定により次式が成立する。

R_a = \mu X_a, \mu = 一定.....(45)

式を簡単にするために次式の如くおく。

z_M \equiv r_M + jx_M = (R_{IM} + 4R) + j(X_{IM} + 4X) } z_S \equiv r_S + jx_S = (R_{IS} + 2a^2R) + j(X_{IS} + 2a^2X) }.....(46)

然るときは式(42)は式(45)の関係を入れて次の如くなる。

T_{OL}' = 8aRE^2 \frac{x_M(\mu X_C + r_S) - r_M(-X_C + x_S)}{|z_M|^2[(\mu X_C + r_S)^2 + (-X_C + x_S)^2]}

この式の右辺を X_C で微分して 0 とおき最大値 (T_{OL}')_{max} を求めると次式が得られる。

(T_{OL}')_{max} = \frac{8aRE^2}{|z_M|} \times \frac{\sqrt{1 + \mu^2(r_M + \mu x_M)^2}}{(r_S + \mu x_S)[(r_M \sqrt{1 + \mu^2} + \mu |z_M|)^2 + (|z_M| - x_M \sqrt{1 + \mu^2})^2]}.....(47)

このときの X_C を (X_{COL})_{Tmax} とすると次の如くなる。

(X_{COL}')_{Tmax} = \frac{\sqrt{1 + \mu^2(r_M x_S - x_M r_S)} + |z_M| \cdot (r_S + \mu x_S)}{\sqrt{1 + \mu^2(r_M + \mu x_M)}}.....(48)

式(43)を(45),(46)式によつて書きかえると次の如くなる。

V_{COL}' = \frac{E(\mu X_C - jX_C)}{(\mu X_C + r_S) + j(-X_C + x_S)}

これより X_C を変化した場合の |V_{COL}'| の最大値を求め |V_{COL}'|_{max} で表わすと次式が得られる。

|V_{COL}'|_{max} = \frac{E \sqrt{1 + \mu^2} |z_S|}{r_S + \mu x_S}.....(49)

このときの X_C を (X_{COL})_{Vmax} とすると次の如くなる。

(X_{COL})_{Vmax} = \frac{|z_S|^2}{x_S - \mu r_S}.....(50)

なお、通常 \mu \ll 1 であるから式(47)~(49)は次の如くなる。

(T_{OL}')_{max} \doteq \frac{8aRE^2}{|z_M|} \times \frac{(r_S + \mu x_S)^2}{(r_S + \mu x_S)[(r_M + \mu |z_M|)^2 + (|z_M| - x_M)^2]}.....(47)'

(X_{COL})_{Tmax} \doteq \frac{(r_M x_S - x_M r_S) + |z_M| \cdot (r_S + \mu x_S)}{r_M + \mu x_M}.....(48)'

|V_{COL}'|_{max} \doteq \frac{E \cdot |z_S|}{r_S + \mu x_S}.....(49)'

実用上は式(47)'~(49)'で十分である。

(B) H-結線の場合

式(35)に式(37),(38)の仮定を入れると次式が得られる。

I_{MOH}' = \frac{2E(Z_{SO} - Z_{BO})}{(Z_{MO} + Z_{BO})(Z_{MO} + 2Z_{SO} - Z_{BO})}.....(51)

I_{NOH}' = \frac{2E(Z_{MO} + Z_{SO})}{(Z_{MO} + Z_{BO})(Z_{MO} + 2Z_{SO} - Z_{BO})}.....(52)

$$I_{SOH}' = \frac{2E}{Z_{MO} + 2Z_{SO} - Z_{BO}}$$

$$= \frac{E}{\left(\frac{R_{IM}}{2} + R_C + R_{IS} + 2a^2R\right) + j\left(\frac{X_{IM}}{2} - X_C + X_{IS} + 2a^2X\right)} \dots\dots\dots(53)$$

従つて

$$I_{TOH}' = I_{MOH}' + I_{NOH}' = \frac{2E}{Z_{MO} + Z_{BO}}$$

$$= \frac{2E}{(R_{IM} + 4R) + j(X_{IM} + 4X)} \dots\dots\dots(54)$$

式(36)より次式が得られる。

$$T_{OH}' = 4aR |I_{TOH}'| \cdot |I_{SOH}'| \sin \theta_{OH}' = 8aRE^2$$

$$\frac{(X_{IM} + 4X)\left(\frac{R_{IM}}{2} + R_C + R_{IS} + 2a^2R\right) - (R_{IM} + 4R)\left(\frac{X_{IM}}{2} - X_C + X_{IS} + 2a^2X\right)}{\left[\left(R_{IM} + 4R\right)^2 + \left(X_{IM} + 4X\right)^2\right] \left[\left(\frac{R_{IM}}{2} + R_C + R_{IS} + 2a^2R\right)^2 + \left(\frac{X_{IM}}{2} - X_C + X_{IS} + 2a^2X\right)^2\right]} \dots\dots\dots(55)$$

蓄電器端子電圧 V_{COH}' は次の如くなる。

$$V_{COH}' = Z_C I_{SOH}'$$

$$= \frac{E(R_C - jX_C)}{\left(\frac{R_{IM}}{2} + R_C + R_{IS} + 2a^2R\right) + j\left(\frac{X_{IM}}{2} - X_C + X_{IS} + 2a^2X\right)} \dots\dots\dots(56)$$

起動能率 $\eta'_{st.H}$ は次の如くなる。

$$\eta'_{st.H} = \frac{T_{OH}'}{E \cdot |I_{LOH}'|} \dots\dots\dots(57)$$

但し $I_{LOH}' = I_{NOH}' =$ 線電流

式(39)~(43)を式(51)~(56)と比較すると次のことがいえる。

- (a) I_{TOH}' は I_{TOL}' と等しくなる。
- (b) I_{SOH}' は I_{SOL}' に於ける R_{IS}, X_{IS} の代りに $\frac{R_{IM}}{2} + R_{IS}, \frac{X_{IM}}{2} + X_{IS}$ とおいたものに等しい。
- (c) 従つて T_{OH}' , V_{COH}' はそれぞれ T_{OL}' , V_{COL}' に於ける R_{IS}, X_{IS} の代りに $\frac{R_{IM}}{2} + R_{IS}, \frac{X_{IM}}{2} + X_{IS}$ とおいたものに等しい。

従つてまた X_C を変化させた場合の起動トルク、蓄電器端子電圧の最大はそれぞれ次の如く表わされる。

$$(T_{OH}')_{\max} = \frac{8aRE^2}{|z_M|}$$

$$\times \frac{\sqrt{1 + \mu^2}(r_M + \mu x_M)^2}{\left[\left(r_S + \frac{R_{IM}}{2}\right) + \mu\left(x_S + \frac{X_{IM}}{2}\right)\right] \left[(r_M \sqrt{1 + \mu^2} + \mu|z_M|)^2 + (|z_M| - x_M \sqrt{1 + \mu^2})^2\right]} \dots\dots\dots(58)$$

$$(X_{COH})_{T\max}$$

$$\frac{\sqrt{1 + \mu^2} \left[r_M \left(x_S + \frac{X_{IM}}{2} \right) - x_M \left(r_S + \frac{R_{IM}}{2} \right) \right] + |z_M| \left[\left(r_S + \frac{R_{IM}}{2} \right) + \mu \left(x_S + \frac{X_{IM}}{2} \right) \right]}{\sqrt{1 + \mu^2}(r_M + \mu x_M)} \dots\dots\dots(59)$$

$$|V_{COH}'|_{\max} = \frac{E \sqrt{1 + \mu^2} \left| z_S + \frac{Z_{IM}}{2} \right|}{\left(r_S + \frac{R_{IM}}{2} \right) + \mu \left(x_S + \frac{X_{IM}}{2} \right)} \dots\dots\dots(60)$$

$$(X_{COH})_{V\max} = \frac{\left| z_S + \frac{Z_{IM}}{2} \right|^2}{\left(x_S + \frac{X_{IM}}{2} \right) - \mu \left(r_S + \frac{R_{IM}}{2} \right)} \dots\dots\dots(61)$$

なお $\mu \ll 1$ の場合には次の如くなる。

$$(T_{OH}')_{\max} \doteq \frac{8aRE^2}{|z_M|}$$

$$\times \frac{(r_M + \mu x_M)^2}{\left[\left(r_S + \frac{R_{IM}}{2} \right) + \mu \left(x_S + \frac{X_{IM}}{2} \right) \right] \times \left[(r_M + \mu|z_M|)^2 + (|z_M| - x_M)^2 \right]} \dots\dots\dots(58)'$$

$$(X_{COH})_{T\max}$$

$$\frac{\left[r_M \left(x_S + \frac{X_{IM}}{2} \right) - x_M \left(r_S + \frac{R_{IM}}{2} \right) \right] + |z_M| \cdot \left[\left(r_S + \frac{R_{IM}}{2} \right) + \mu \left(x_S + \frac{X_{IM}}{2} \right) \right]}{r_M + \mu x_M} \dots\dots\dots(59)'$$

$$|V_{COH}'|_{\max} \doteq \frac{E \cdot \left| z_M + \frac{Z_{IM}}{2} \right|}{\left(r_S + \frac{R_{IM}}{2} \right) + \mu \left(x_S + \frac{X_{IM}}{2} \right)} \dots\dots\dots(60)'$$

(2) 円線図

(A) L-結線の場合

この場合は既に明かにされている如く⁽²⁾、第6図(次頁参照)に於て \overline{OE} を電源電圧、 \overline{OT} を電流 I_{TOL}' 、 \overline{TS} を電流 I_{SOL}' のベクトルとすれば X_C の変化と共に点 S は円 O_1 の円周上を移動する。円 O_1 は T を通り、その中心 O_1 の位置は

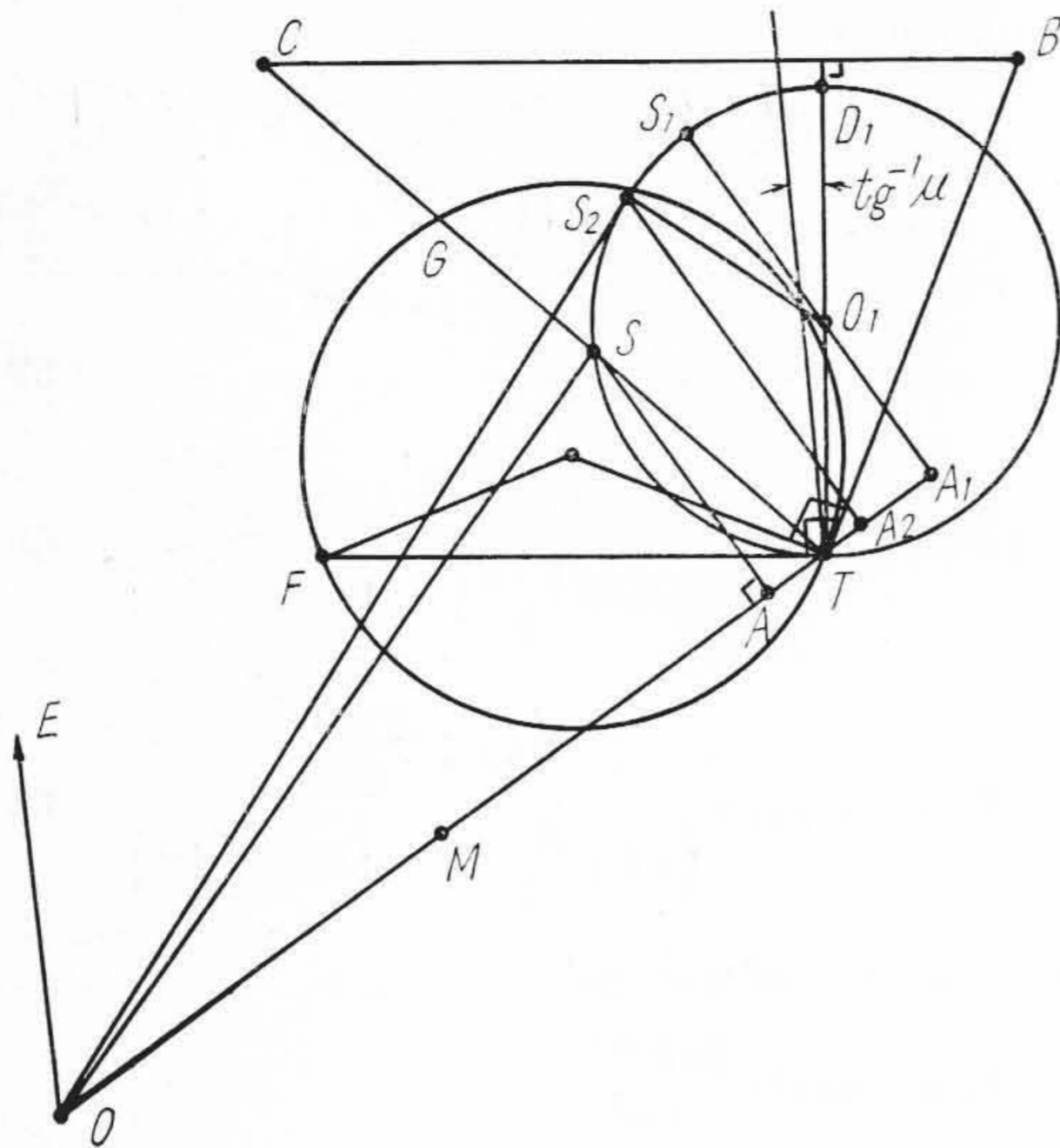
$$\angle(\overline{OE}, \overline{TO_1}) = \text{tg}^{-1} \mu,$$

$$\overline{TO_1} = \frac{E \sqrt{1 + \mu^2}}{2[(R_{IS} + 2a^2R) + \mu(X_{IS} + 2a^2X)]}$$

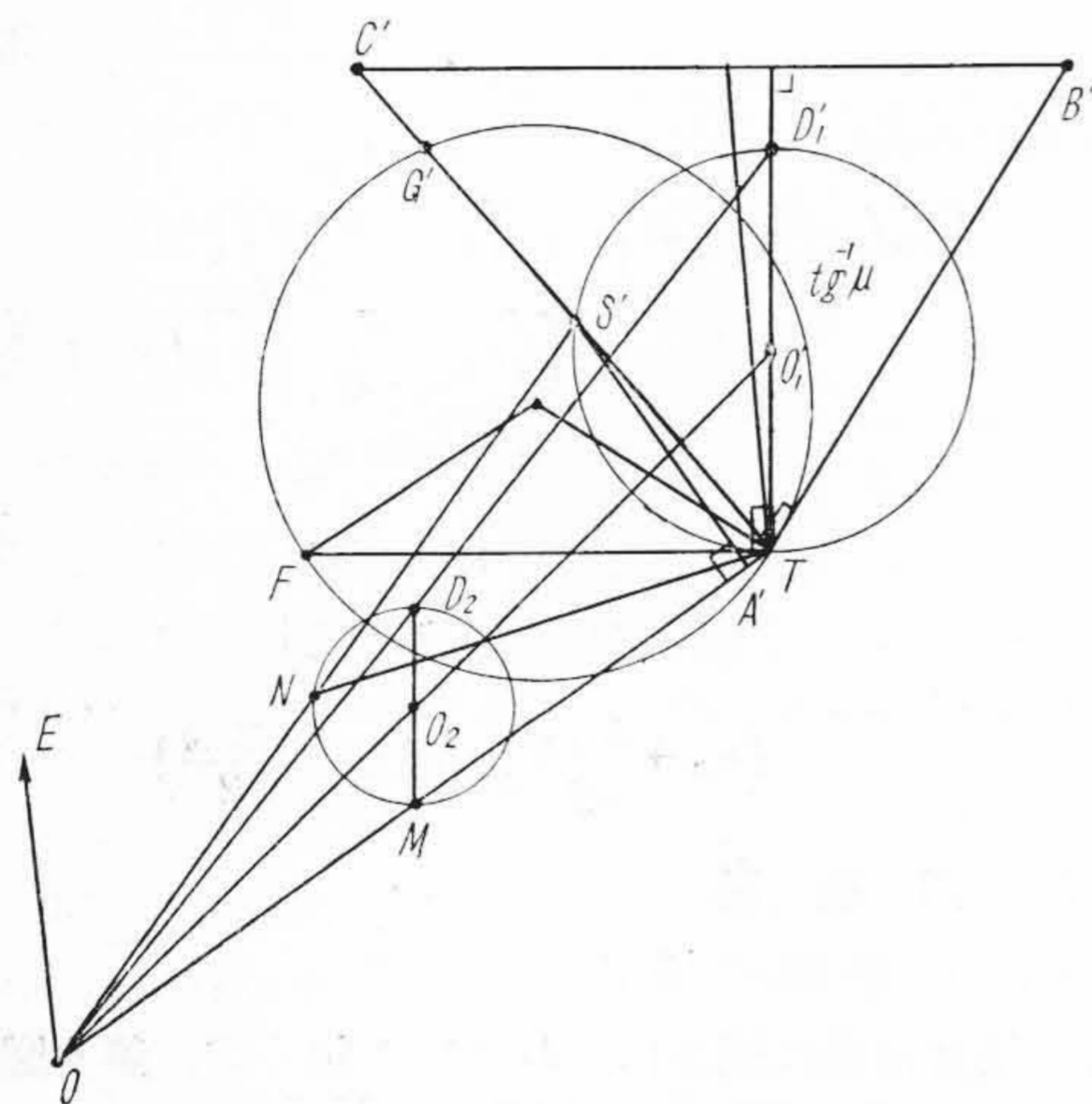
で表わされる。このときの電流 I_{MOL}' , I_{NOL}' は相等しく $\overline{OM} = \overline{MT}$ となり、線電流 I_{LOL}' は \overline{OS} となる。

起動トルク T_{OL}' は S より OT に降した垂線の長さ \overline{SA} で、その最大値は \overline{SA} が円 O_1 の中心 O_1 を通るとき即ち $S_1O_1A_1$ で表わされる。また起動能率は $\angle SOT$ の正弦で表わされるから OS が円 O_1 の切線になるとき即ち S_2 が起動能率の最大時を示す。

ベクトル \overline{TB} を $(R_{IS} + 2a^2R) + j(X_{IS} + 2a^2X)$ にと



第6図 円線図 (L-結線)
Fig.6. Circle Diagram (L-Connection)



第7図 円線回 (H-結線)
Fig.7. Circle Diagram (H-Connection)

り、Bより TD_1 への垂線と TS との交点を C とすれば $BC = |Z_c|$ となる。

T より TO_1 に垂直に TF を引き $TF = |E|$ にとり、 F を通り、 T で TB に接する円を描き TS との交点を G とすれば $TG = |V_c|$ となる。而してその直径が式 (49) の値に等しくなることは勿論である。

(B) H-結線の場合

この場合の円線図を第7図で説明すると、第6図と同じく OE が電源電圧、 OT が電流 I_{TOH}' のベクトルとなり、 I_{SOH}' のベクトルを TS' とすると X_c の変化と共に点 S' は円 O_1' の円周上を移動する。円 O_1' は T を通り、その中心 O_1' の位置は

$$\angle(OE, TO_1') = \text{tg}^{-1} \mu,$$

$$TO_1' = \frac{E\sqrt{1+\mu^2}}{2\left[\left(\frac{R_{IM}}{2} + R_{IS} + 2a^2R\right) + \mu\left(\frac{X_{IM}}{2} + X_{IS} + 2a^2X\right)\right]}$$

で表わされる。また OO_1' の中点を O_2 とし、 O_2 を中心とし円 O_1' の半径を直径とする円 O_2 の円周と OS' との交点を N とすると明かに $ON = NS'$ である。然るに

$$I_{TOH}' = I_{MOH}' + I_{NOH}', \quad I_{NOH}' = I_{MOH}' + I_{SOH}'$$

であるから

$$I_{NOH}' = \frac{1}{2}(I_{TOH}' + I_{SOH}')$$

$$I_{MOH}' = I_{TOH}' - I_{NOH}'$$

依つて ON 又は NS' が I_{NOH}' 、 NT が I_{MOH}' のベクトルを表わす。

起動トルク、起動能率の表わし方も L-結線の場合と同様であるが円 O_1' が円 O_1 と異なるからその値は異なる。

また TB' を

$$\left(\frac{R_{IM}}{2} + R_{IS} + 2a^2R\right) + j\left(\frac{X_{IM}}{2} + X_{IS} + 2a^2X\right)$$

にとれば同様にして $|Z_c|$ を $B'C'$ で表わせる。

また円 $G'FT$ の直径は式 (61) の値に等しくなる。

[V] 計算例

次の常数を有する出力 200 W, 4 極, 100 V / 200 V, 50 \sim の蓄電器起動電動機に就いて [IV] 項の結果を用いて起動特性を計算した結果を示す。

$$\begin{aligned} R_{IM} = R_{IN} = 3.20\Omega, & \quad X_{IM} = X_{IN} = 5.02\Omega, & \quad b = 1 \\ R_{IS} = 9.72\Omega, & \quad X_{IS} = 7.51\Omega, & \quad a = 1.38 \\ X_m = 24.9\Omega, & \quad R_2 = 1.35\Omega, & \quad X_2 = 0.464\Omega \end{aligned}$$

$$Z_c = (2.12 - j21.2)\Omega \quad (C = 150\mu\text{F}, \mu = 0.1)$$

$$\text{式 (23) より } R = 1.30\Omega, \quad X = 0.562\Omega$$

$$\text{従つて } a^2R = 2.48\Omega, \quad a^2X = 1.00\Omega$$

(1) L-結線 (100V 結線) の場合

各相電流は式 (39)~(41) より

$$I_{MO L}' = I_{NO L}' = 9.10 \text{ A } \angle -41.3^\circ,$$

$$I_{SO L}' = 4.89 \text{ A } \angle 34.8^\circ,$$

$$I_{TO L}' = 18.2 \text{ A } \angle -41.3^\circ$$

起動トルクは式 (42) より

$$T_{OL}' = 620 \text{ synchronous watts}$$

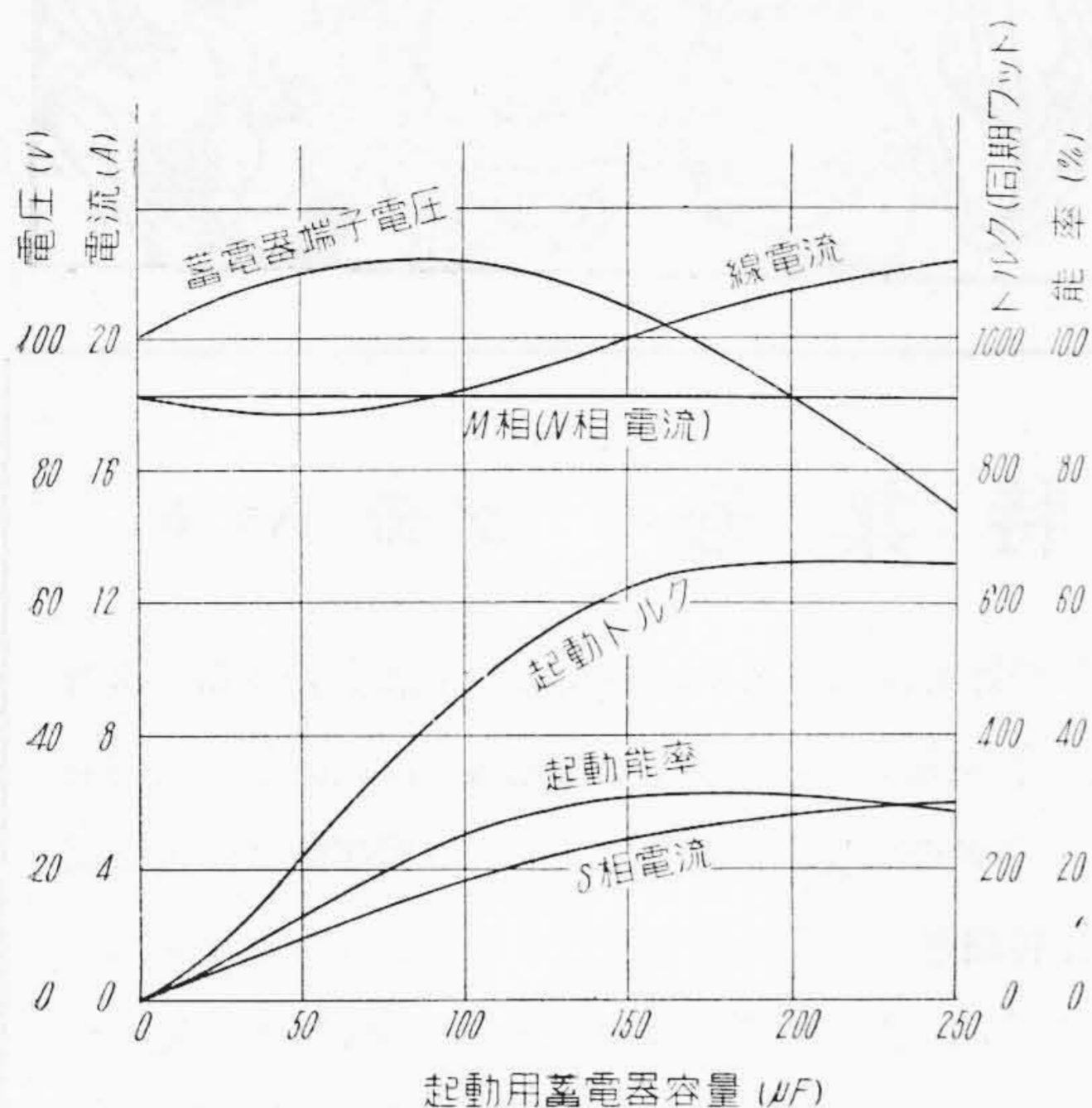
蓄電器端子電圧は式 (43) より

$$|V_{CO L}'| = 104 \text{ V}$$

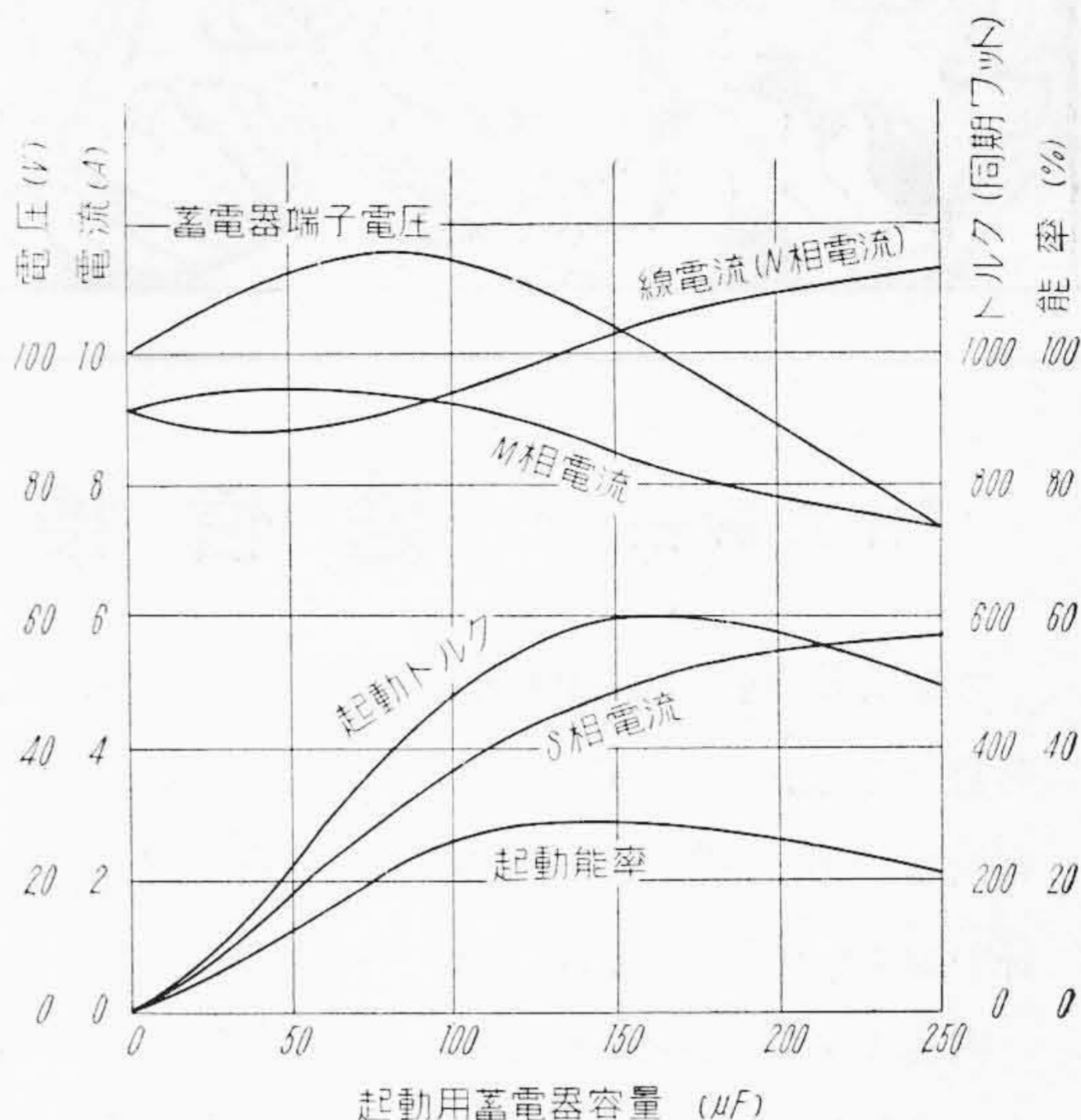
線電流及び起動能率は式 (44) より

$$I_{LO L}' = 20.0 \text{ A } \angle -27.4^\circ, \quad \eta_{st.L}' = 0.31$$

起動用蓄電器の容量を変化させたときの起動トルク、蓄電器端子電圧の最大はそれぞれ



第8図 起動特性曲線 (L-結線)
Fig. 8. Starting Characteristic Curves (L-Connection)



第9図 起動特性曲線 (H-結線)
Fig. 9. Starting Characteristic Curves (H-Connection)

式 (47), (48) より

$$(T_{OL}')_{\max} = 658 \text{ syn. watts,}$$

$$(X_{COL})_{T_{\max}} = 16.2\Omega \quad (C = 196\mu\text{F})$$

が得られ、又式 (49), (50) より

$$|V_{COL}'|_{\max} = 112 \text{ V,}$$

$$(X_{COL})_{V_{\max}} = 38.1\Omega \quad (C = 83.5\mu\text{F})$$

が得られる。

(2) H-結線 (200V 結線) の場合

各相電流は式 (51)~(54) より

$$I_{MOH}' = 8.76 \text{ A } \angle -56.7^\circ,$$

$$I_{NOH}' = I_{LOH}' = 10.1 \text{ A } \angle -22.8^\circ$$

$$I_{SOH}' = 4.87 \text{ A } \angle 23.5^\circ,$$

$$I_{TOH}' = 18.2 \text{ A } \angle -41.3^\circ,$$

起動トルクは式 (55) より

$$T_{OH}' = 590 \text{ syn. watts}$$

蓄電器端子電圧は式 (56) より

$$|V_{COH}'| = 104 \text{ V}$$

起動能率は式 (57) より

$$\eta'_{st.H} = 0.292$$

起動用蓄電器の容量を変化させたときの起動トルク、蓄電器端子電圧の最大はそれぞれ

式 (58), (59) より

$$(T_{OH}')_{\max} = 592 \text{ syn. watts,}$$

$$(X_{COH})_{T_{\max}} = 19.6\Omega \quad (C = 162\mu\text{F})$$

式 (60), (61) より

$$|V_{COH}|_{\max} = 116 \text{ V,}$$

$$(X_{COH})_{V_{\max}} = 39.5\Omega \quad (C = 80.6\mu\text{F})$$

以上の計算結果及び前項の円線図法により、上記電動機の起動用蓄電器の容量を変化した場合の起動特性の変化を求めた結果を第8図及び第9図に示した。

これらの結果は試作品の試作結果と略々一致する。

[VI] 結 言

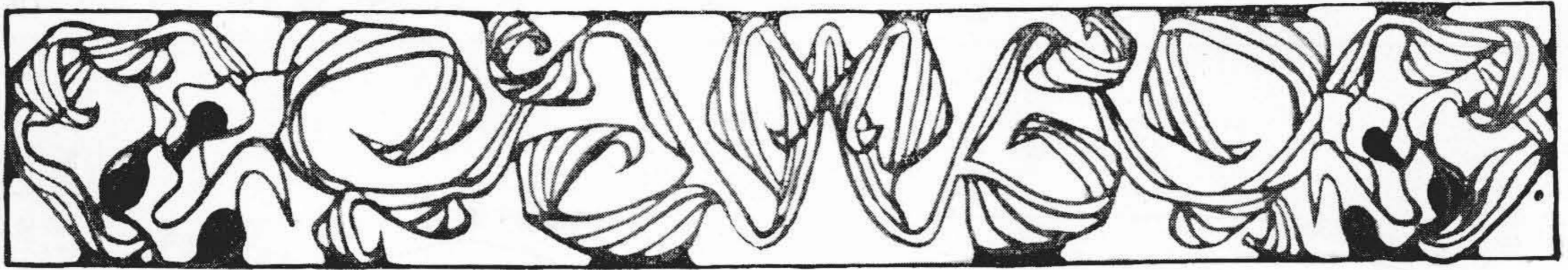
以上二回転磁界説により二重電圧単相誘導電動機の解析に資する基本式を誘導し、更にこれを変形して蓄電器起動の場合の起動特性を表わす式を導いて考察を加えた。その結果として、高圧結線の場合も低圧結線の場合と同様に数式又は円線図により特性を検討する路を開き、低圧結線と高圧結線の場合の類似点及び相違点を明かにすることができた。

なお [III] 項 (2) で求めた結果は 2E が 200V 以上の場合の蓄電器起動電動機的设计に役立つものである。

終りに種々御指導を賜つて関係各位に感謝の意を表する。

参 考 文 献

- (1) Morrill: T.A.I.E.E. 48 614 (1929)
- (2) 友貞: 日立評論 34 1,079 (昭 27-9)



『日立評論』 通信機器特集号 別冊 No. 6

本誌別冊特集号は発刊以来号を重ねること既に5回、普通号の好評はもとより、特集号の声価も愈々高く毎号非常なる絶讃を賜っていることは御熟知の通りであります。昨年度は「電子管応用特集号」に引続き、「火力発電機器」「水力発電機器」両特集号を発行、特に重電気関係より多大の反響を頂きましたので、本年度は弱電気関係の論文を取纏め、下記の通り No. 6 としてここに「通信機器特集号」を5月中旬発行することになりました。

内容は通信機器全般に亘り、有線、無線、搬送等に於ける諸問題に就いて研究検討の上、その成果を詳述したものであります。日立製作所が誇る戸塚工場を始め各工場研究部の精鋭を動員、その技術の粋を網羅し、本文150頁、写真挿図版500版近くを集めた「通信機器全集」をなすものであります。愛読者各位の御期待に添うべく、編集局あげて、資料の蒐集、編纂に奔命しています。何卒その発行日を鶴首願います。

◆内 容◆

- ◎ 我国通信技術の直面している諸問題.....日立製作所・戸塚工場 渡辺 孝正
- ◎ 自動交換機回路の解析.....日立製作所・戸塚工場 {田島 喜平太郎
江森 五郎}
- ◎ 私設交換機の諸方式.....日立製作所・戸塚工場 {野上 邦茂
江北 森村 敏}
- ◎ A型自動交換機の寿命.....日立製作所・戸塚工場 {中山 野野内 富士雄
小山 内 康 正平}
- ◎ 交換機の新分野への応用.....日立製作所・戸塚工場 {田島 喜平太郎
大塚 英次郎}
- ◎ 電力線搬送電話用圧伸機.....日立製作所・戸塚工場 田島 巖
- ◎ VHF-FM無線機.....日立製作所・戸塚工場 {東 長年
今 西 久 弥}
- ◎ 工業テレビジョン.....日立製作所 {中央研究所 {只野 文哉
戸塚工場 角東 野 正 夫
長 年}}
- ◎ UXF-011型マイクロ波通信装置.....日立製作所 戸塚工場 長浜 良三
- ◎ 最近のテレビジョン受像用空中線に就いて... {八木アンテナ株式会社 高木 堅秀
日立製作所・戸塚工場 古谷 勝美}
- ◎ サーマスタ.....日立製作所・中央研究所 二木 久夫
- ◎ 通信機用磁性材料の二三に就いて.....日立製作所 {日立研究所 小野 健二
安来冶金研究所 小柴 定 雄}
- ◎ 通信機の検査設備に就いて.....日立製作所・戸塚工場 岡田 一知

東京都千代田区丸の内1の4
(新丸の内ビルディング7階)

日立評論社

誌代特集号1冊 ¥100 円16
(振替口座東京 71824 番)